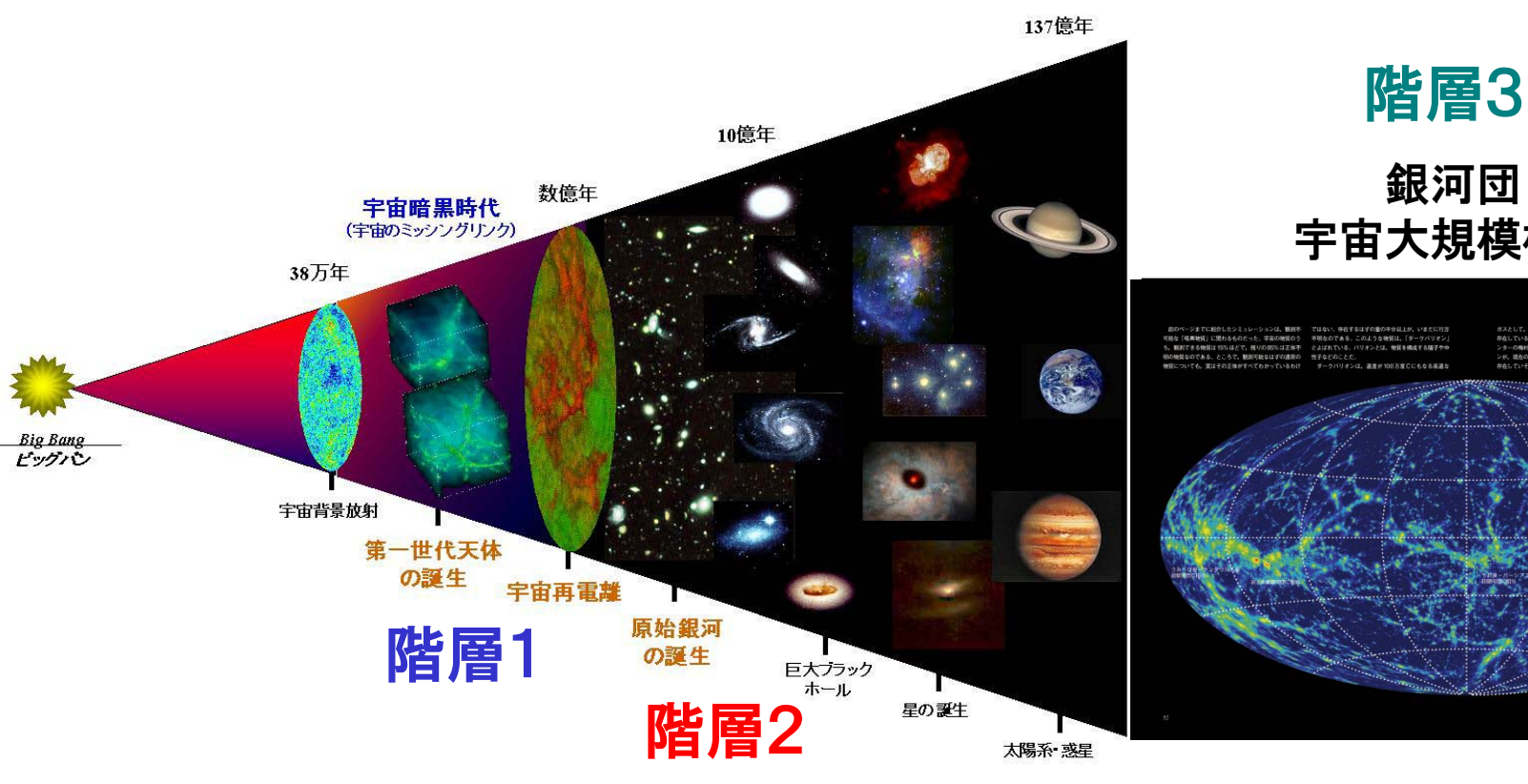
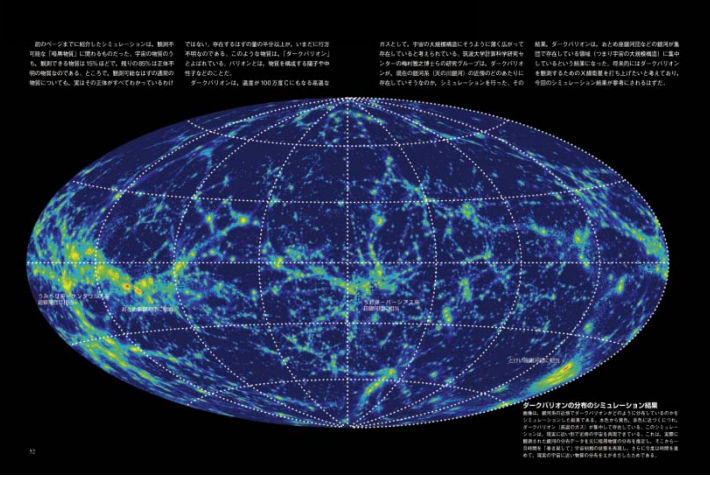
#### 多成分自己重力系の緩和過程における 階層間の類似性と特異性の探究



## 宇宙大規模構造



ダークマター(無衝突系)+ガス(散逸系)+星(非散逸系)

## 組織と役割分担

代表	梅村 雅之 (筑波大学計算科学研究也, 教授) -階層1
共同研究者	森 正夫 (筑波大学計算科学研究也, 准教授) 一階層2
"	吉川 耕司 (筑波大学計算科学研究也, 講師) 一階層3
"	諏訪 多聞 (筑波大学計算科学研究也, 研究員) 一階層1
"	赤堀 卓也 (筑波大学計算科学研究也,研究員)一階層3
"	長谷川 賢二(筑波大学計算科学研究也, 研究員) 一階層1
"	清水 一紘 (筑波大学計算科学研究也, 研究員) 一階層2
"	矢島 秀伸 (筑波大学数理物質科学, D2) - 階層2
<i>''</i>	佐藤 大介 (筑波大学数理物質科学, D2) -階層1

#### 研究成果の概要

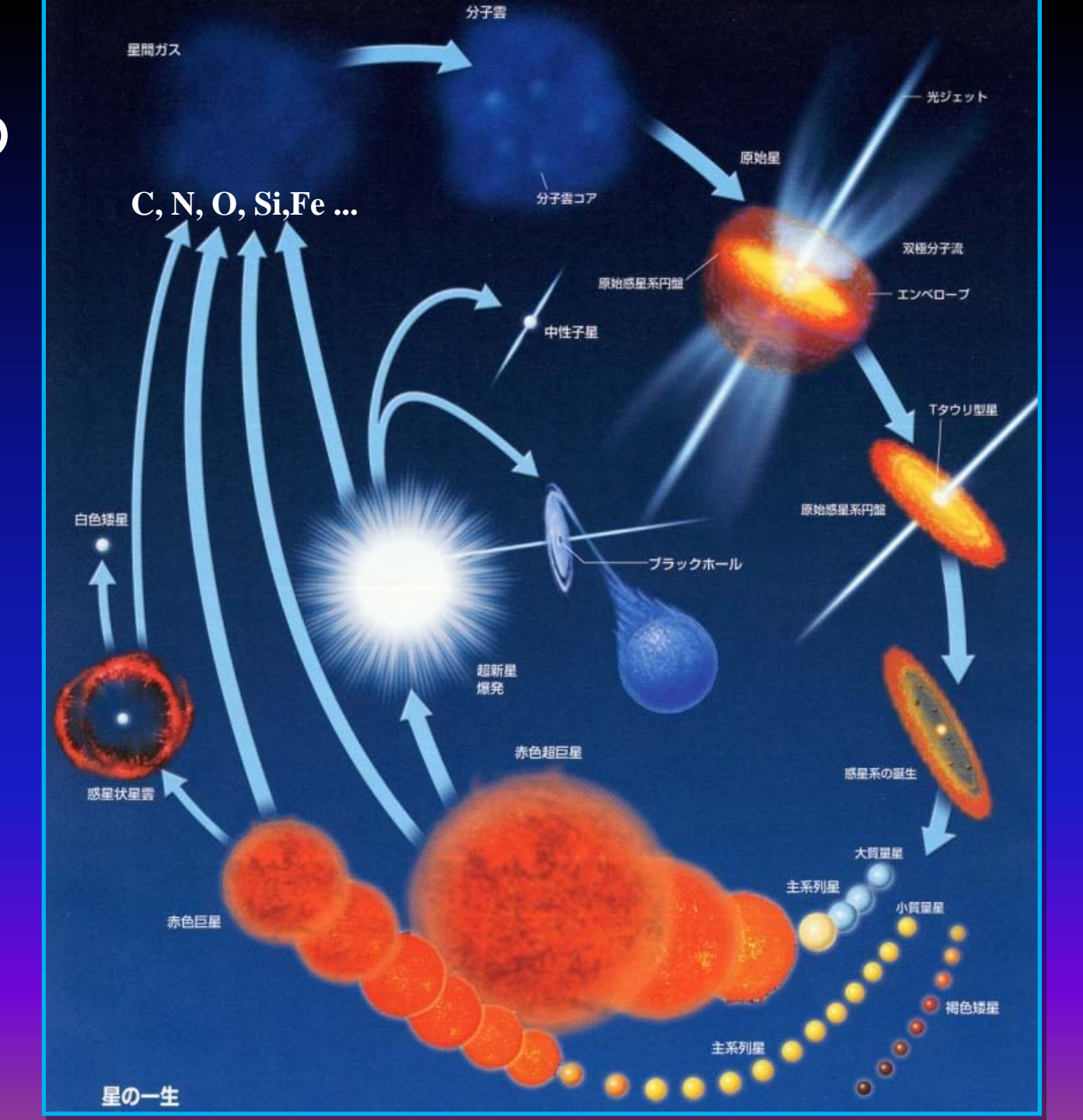
- 1. 原始銀河からの電離光子脱出に関する3次元輻射輸送シミュレーション
- 2. 原始銀河形成時に放出されるライマンアルファ輝線の空間分布
- 3. 衝突銀河団の数値シミュレーション



137億年 (現在)

**-4**-

#### 原始銀河中の 物質循環



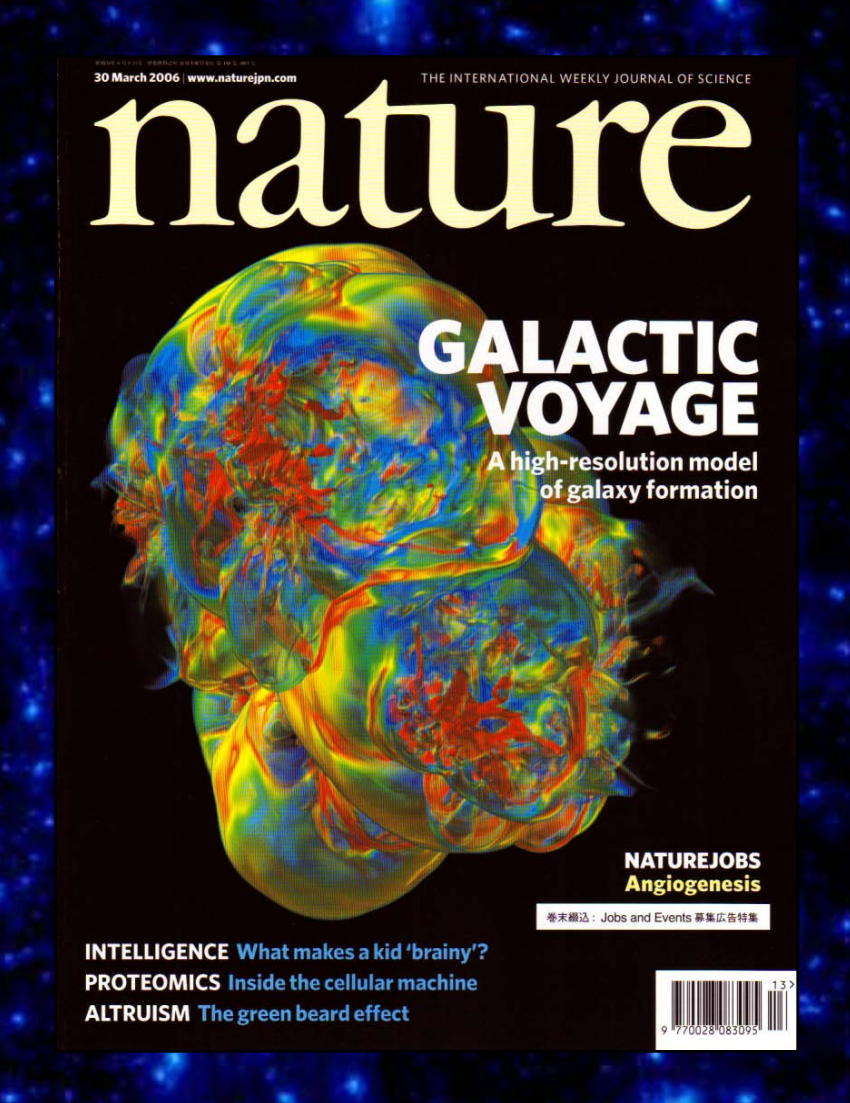
## 原始銀河誕生のシミュレーション

By Earth Simulator & CP-PACS

1024<sup>3</sup> Hydrodynamic Calculations 80,000,000 SN explosions

Mori and Umemura, 2006, Nature, 440, 644

Cover page of Nature (March 30, 2006)



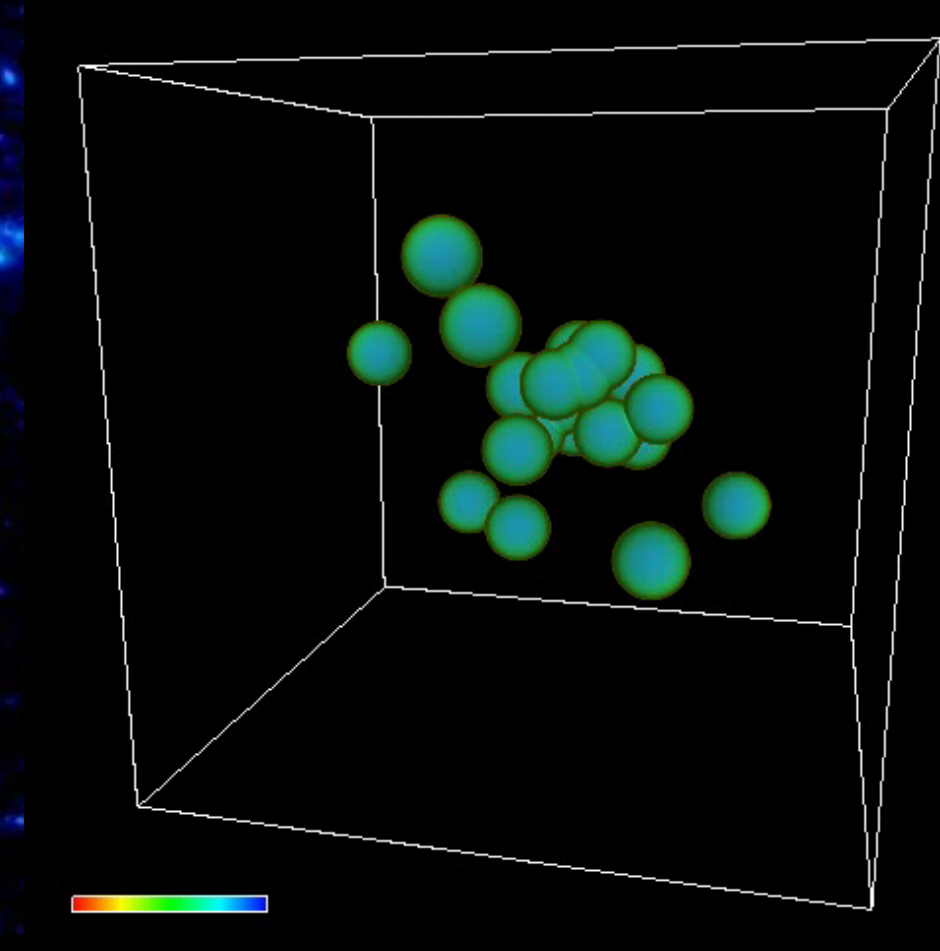
## **Evolution of Gas Density**

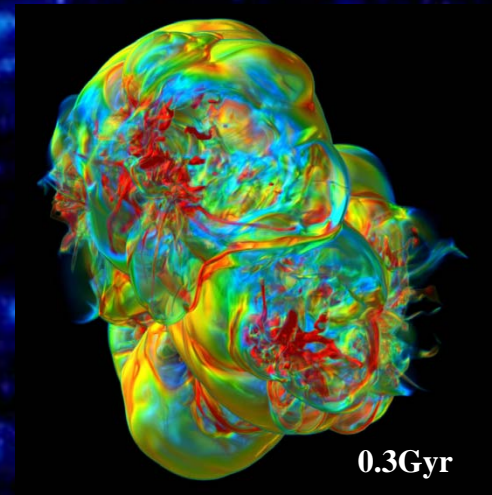
Total Mass:  $10^{11} M_{\odot}$ 

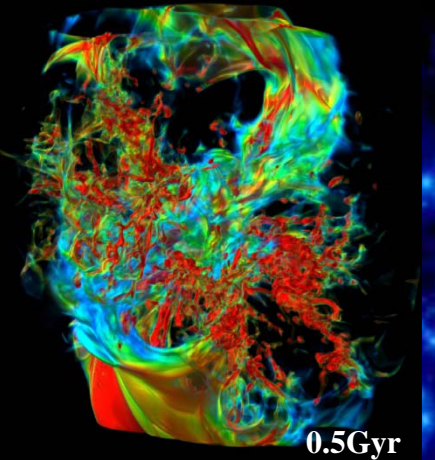
Gas Mass:  $1.3 \times 10^{10} M_{\odot}$ 

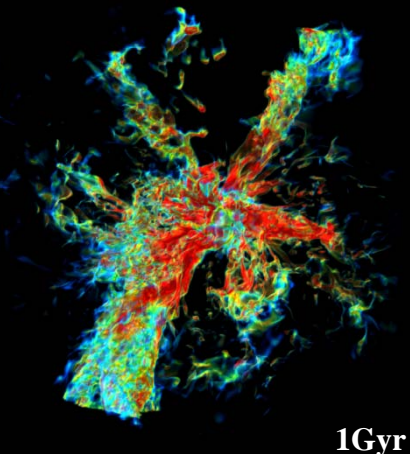
# of Subunits: 20 Box Size: 134 kpc

Grid Points: 1024<sup>3</sup>





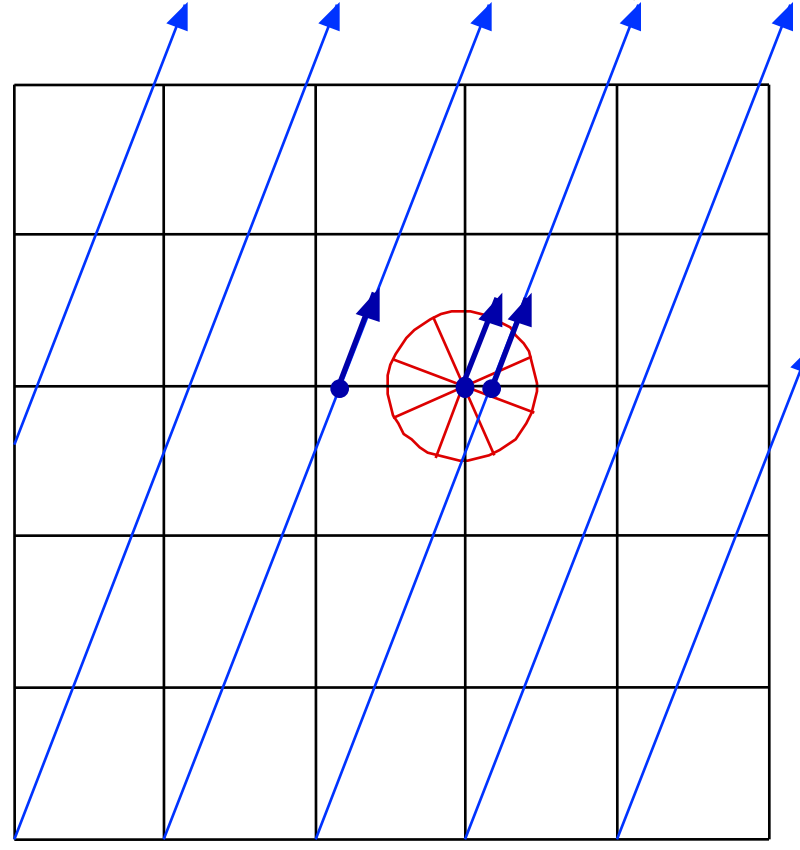




### 電離光子の6次元輻射輸送計算 ART法

(Authentic Radiative Transfer)

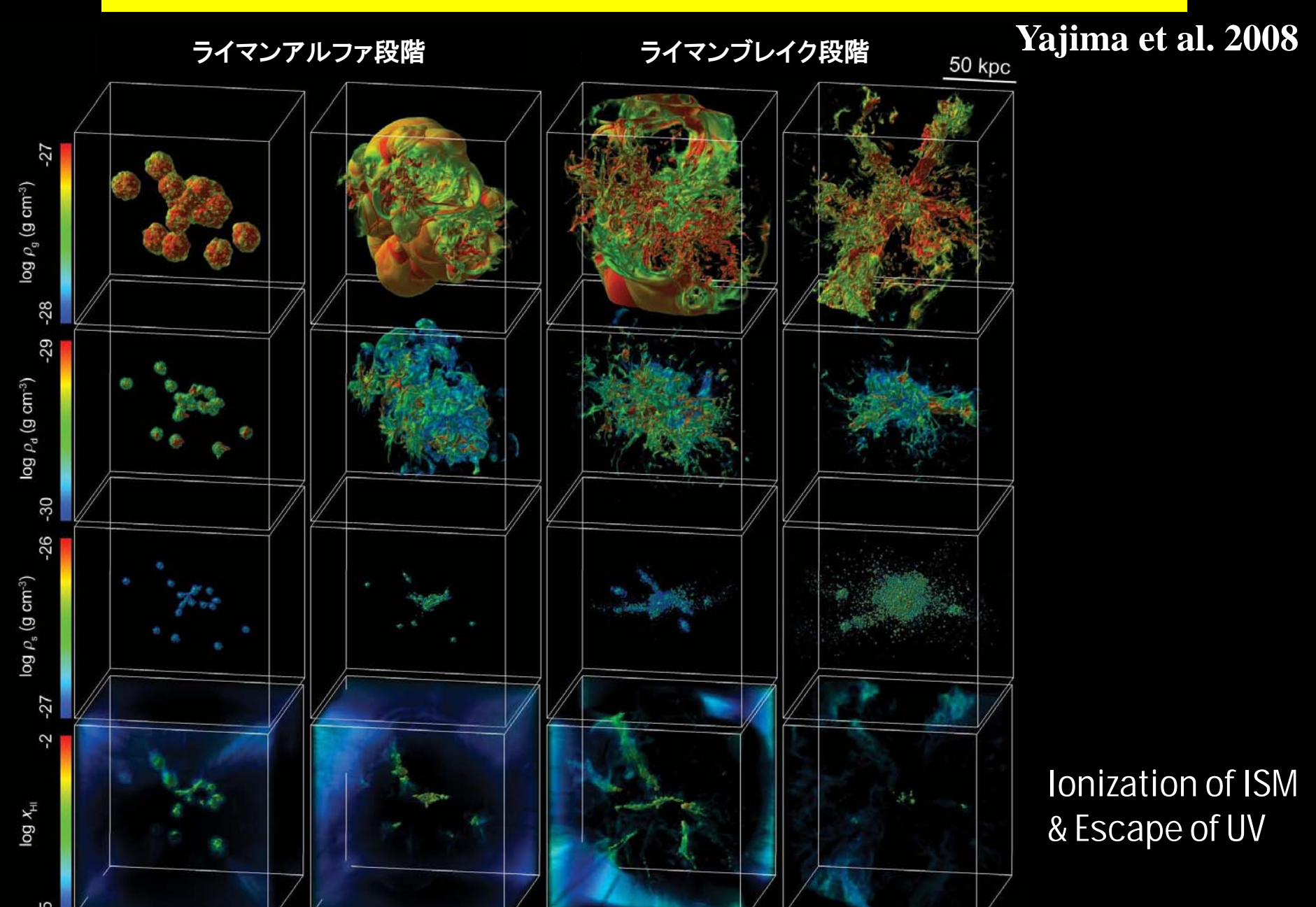
Transfer is solved along a long ray across the domain

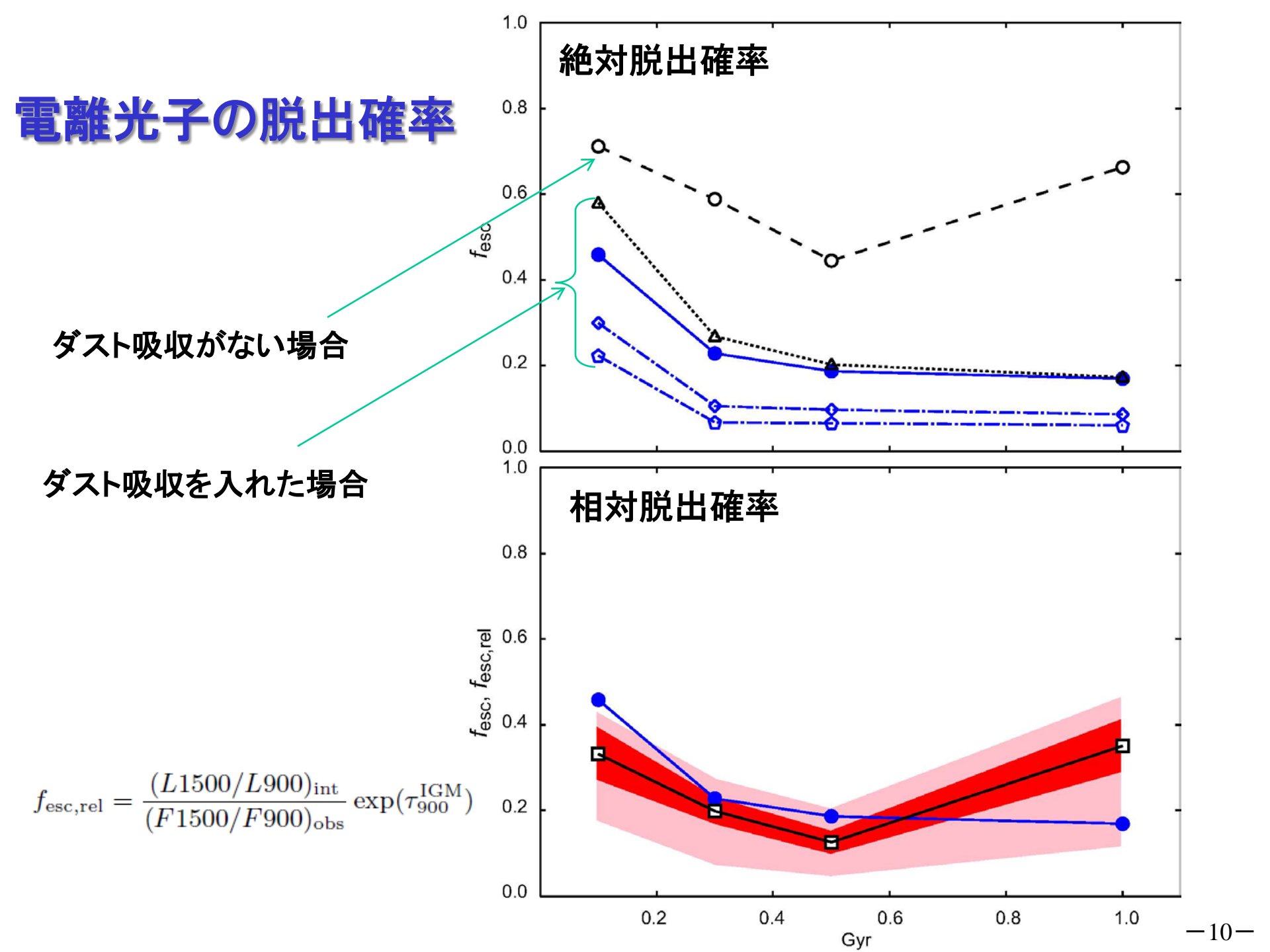


- Physical quantities are interpolated at each grid
- A bit complex coding
- No numerical diffusion (accuracy equivalent to long char.)
- Operations (same as short char.)

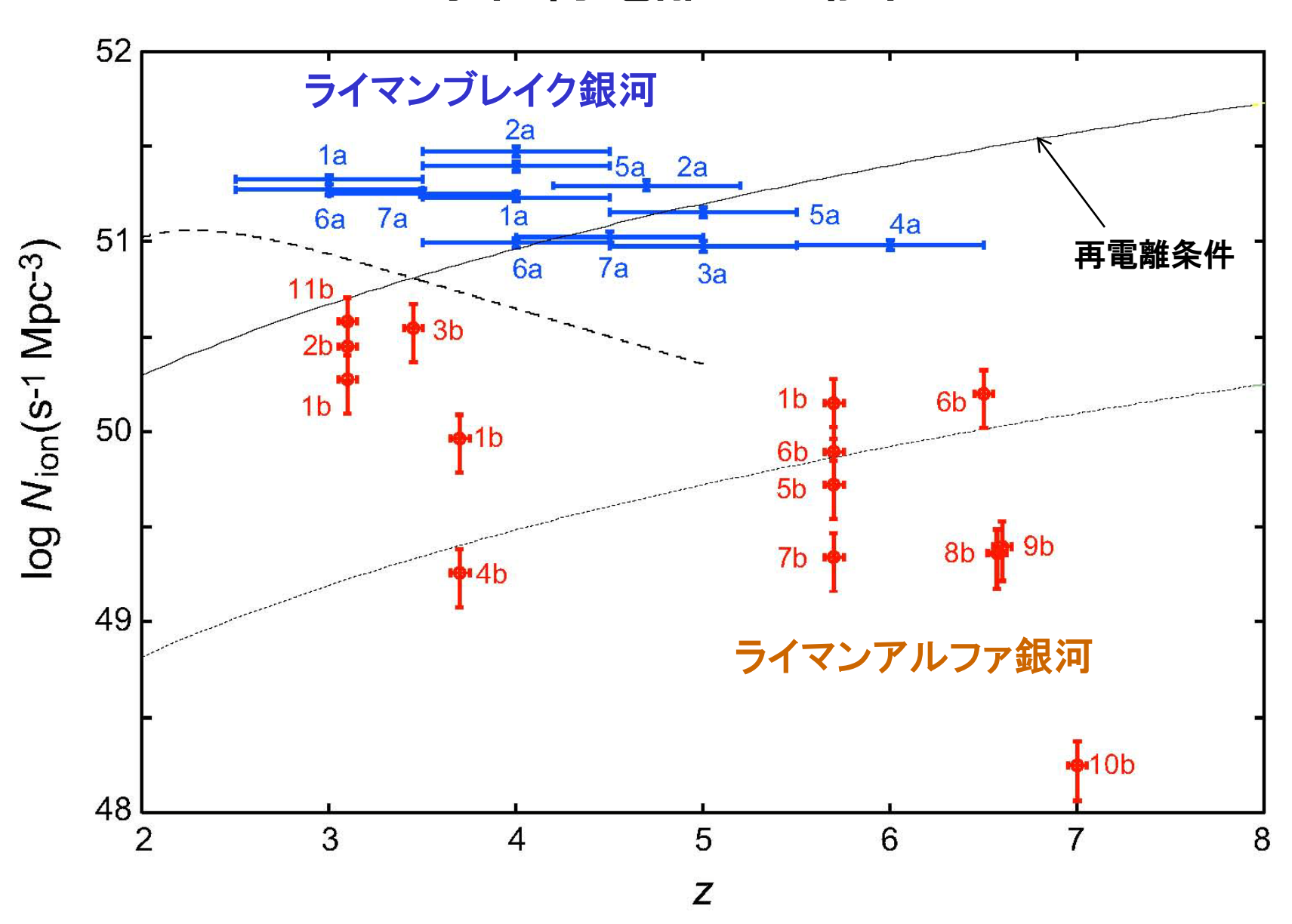
~ 
$$N_x N_y N_z - N_\theta N_\varphi N_v$$

#### 原始銀河における電離光子伝播の6次元輻射輸送計算

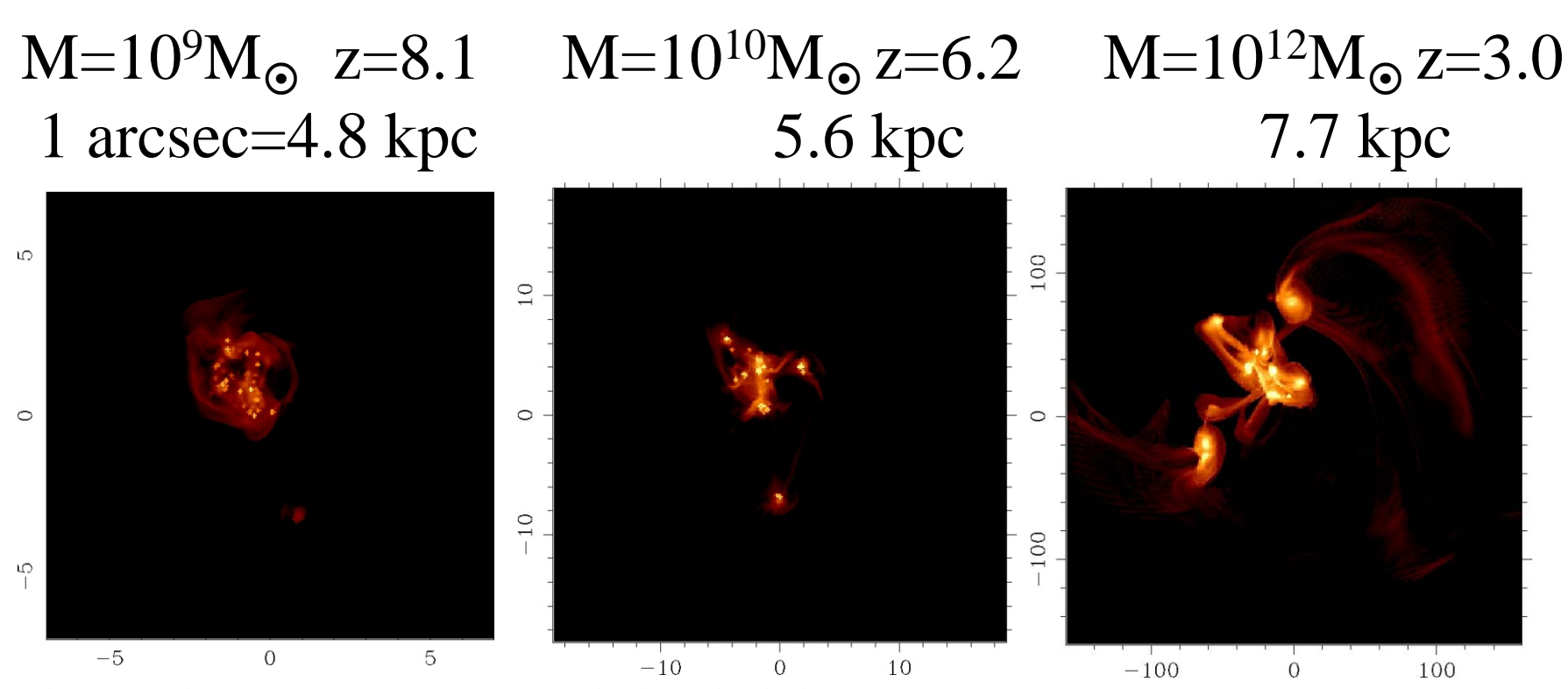




#### 宇宙再電離の可能性



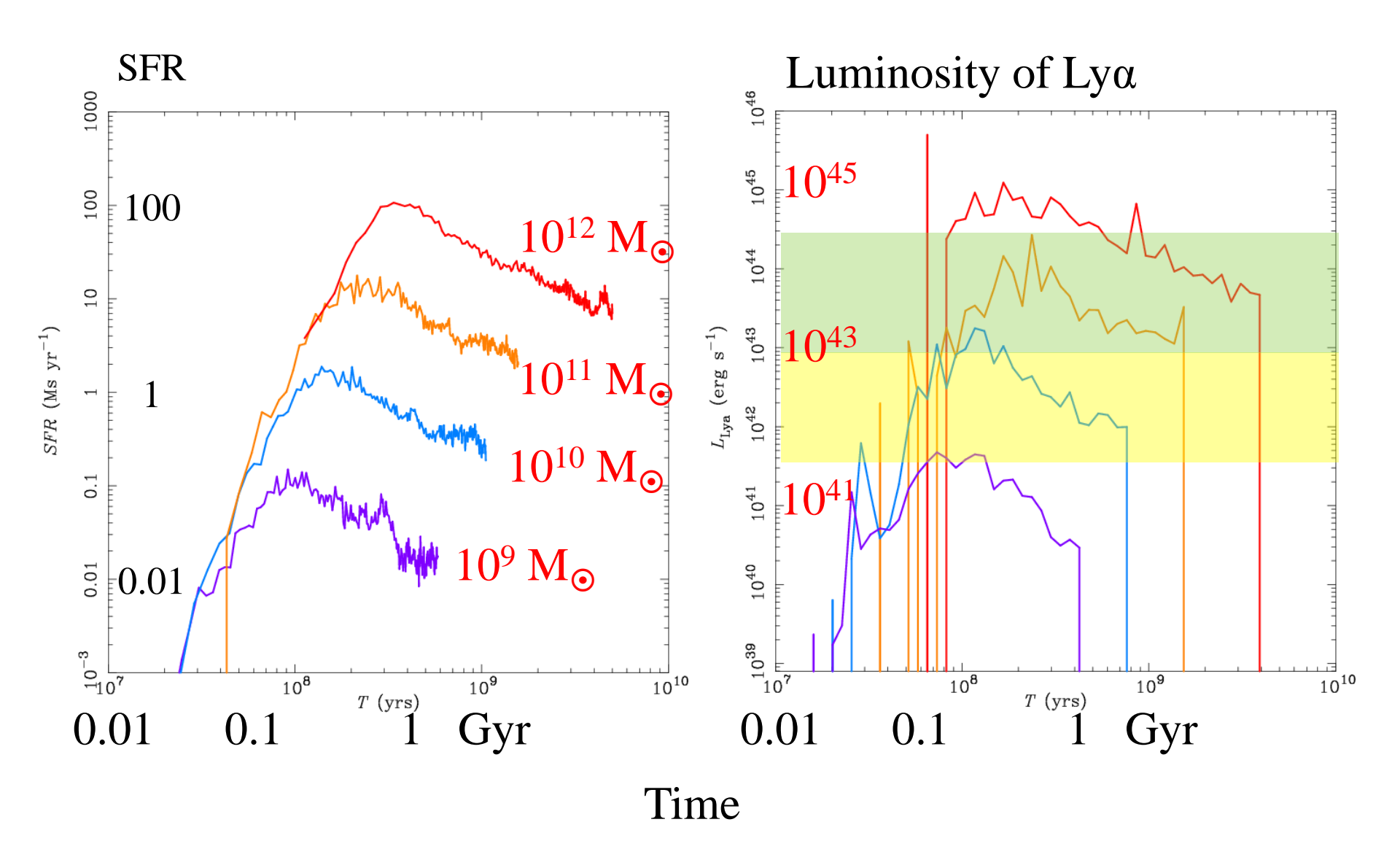
#### 原始銀河形成時に放出されるライマンアルファ 輝線の空間分布



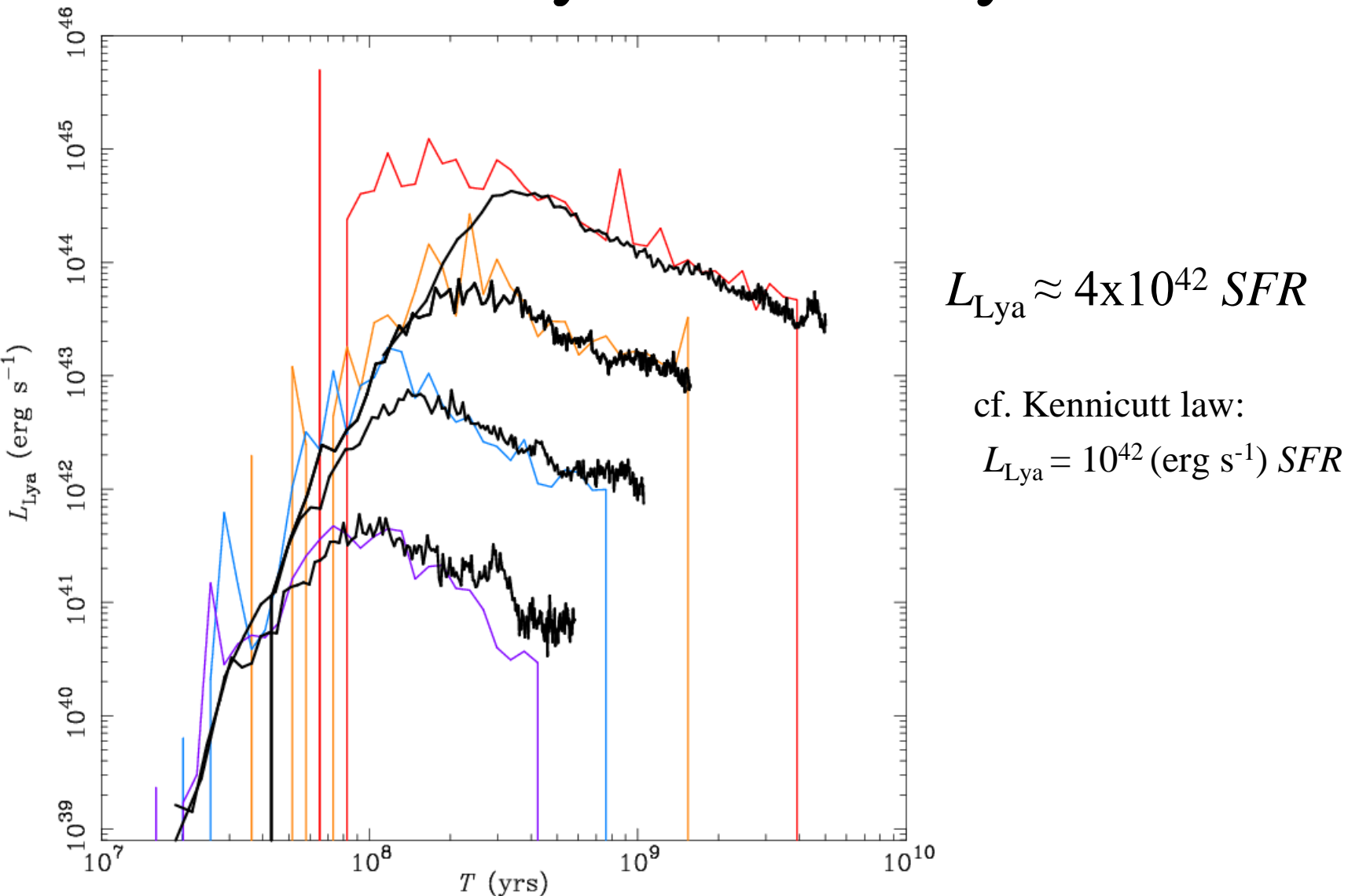
Theoretical Ly $\alpha$  emission comes mainly from high density regions.

The filamentary structures are produced by the galaxy merger and multiple SN explosions. At the lower redshift, these galaxies with the complicated structures are observed as Lyman alpha blobs. But the higher redshift, most of structures become unclear due to the limited resolution.

#### 星形成率とライマンアルファ輝線強度の時間変化



# Scaling relation between SFR and Lya luminosity



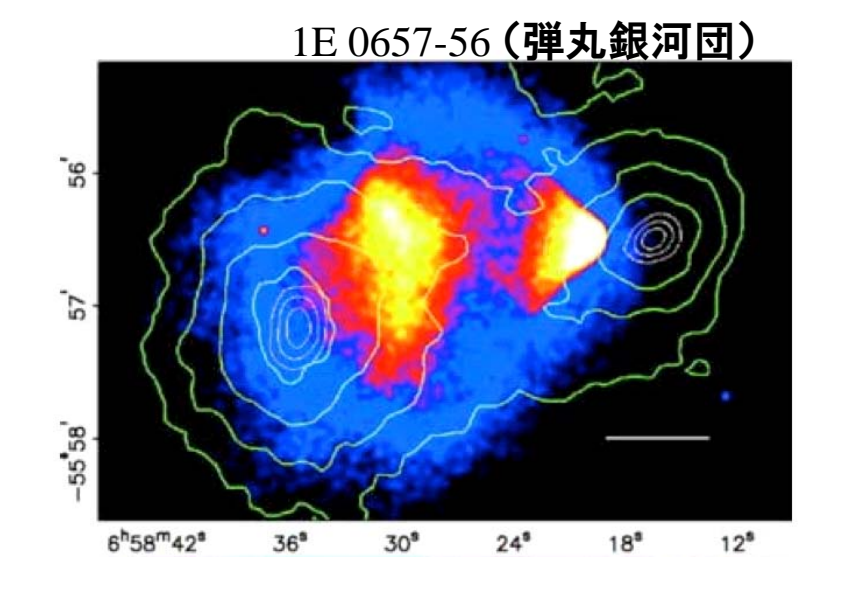
#### 衝突銀河団の数値シミュレーション

#### 銀河団

**質量:** 10<sup>14</sup>~10<sup>15</sup> M<sub>☉</sub>

ダークマター 10<sup>7</sup>~10<sup>8</sup> Kの高温プラズマ 数百~千個程度の銀河

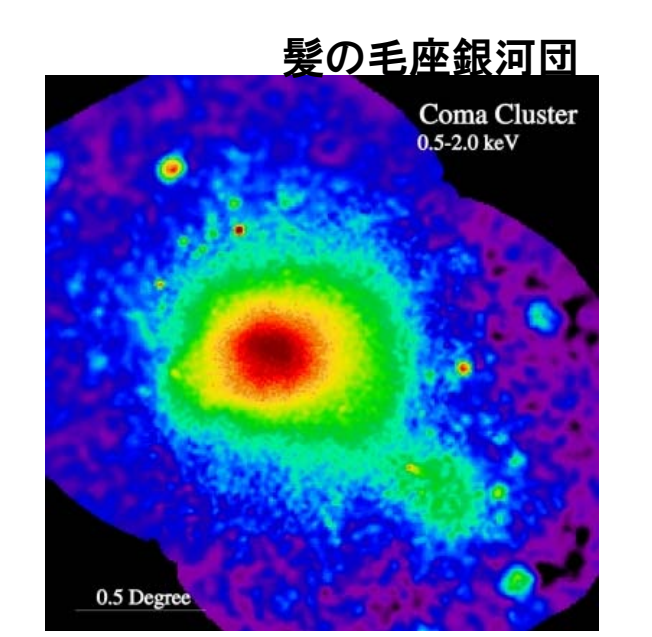
宇宙最大の重力的に束縛された天体



#### 衝突銀河団

銀河団同士が相対速度>1000km/sで衝突する現象

- ■銀河団の内部構造(ガス・ダークマター)
- 銀河団内の重元素量
- プラズマの運動論的性質



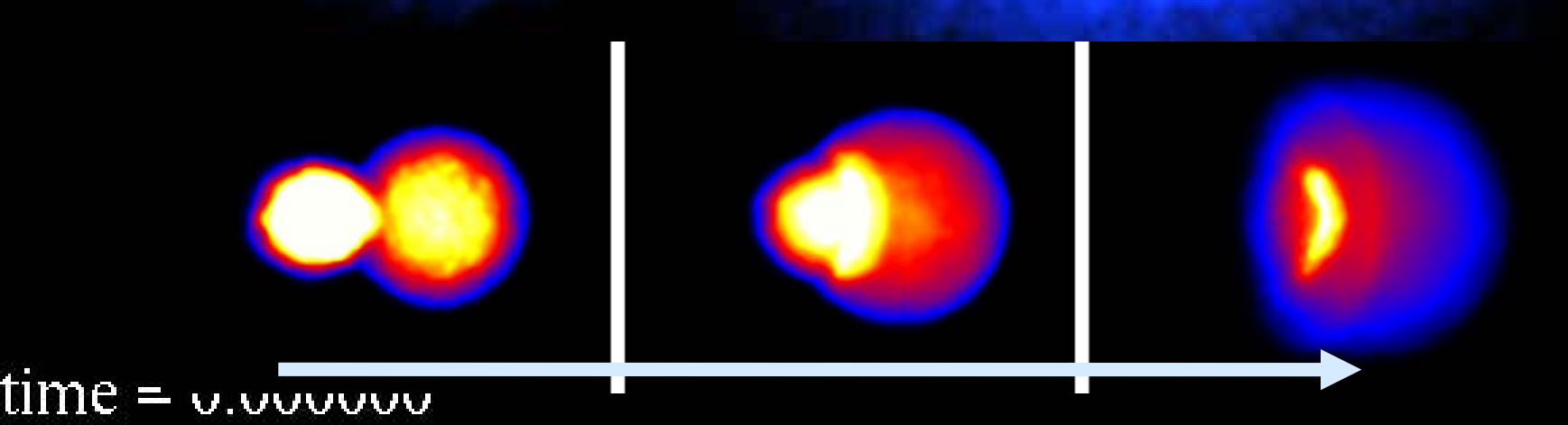
## 衝突銀河団の数値シミュレーション

- 自己重力:N体シミュレーション
- ·流体力学: Smoothed Particle Hydrodynamics (SPH)
- H, He, C, N, O, Si, Mg, Fe などの電離状態の時間発展
- ・イオンと電子の間の熱的緩和の時間発展

将来のX線観測で、衝突銀河団内のプラズマの電離状態を手掛かりに

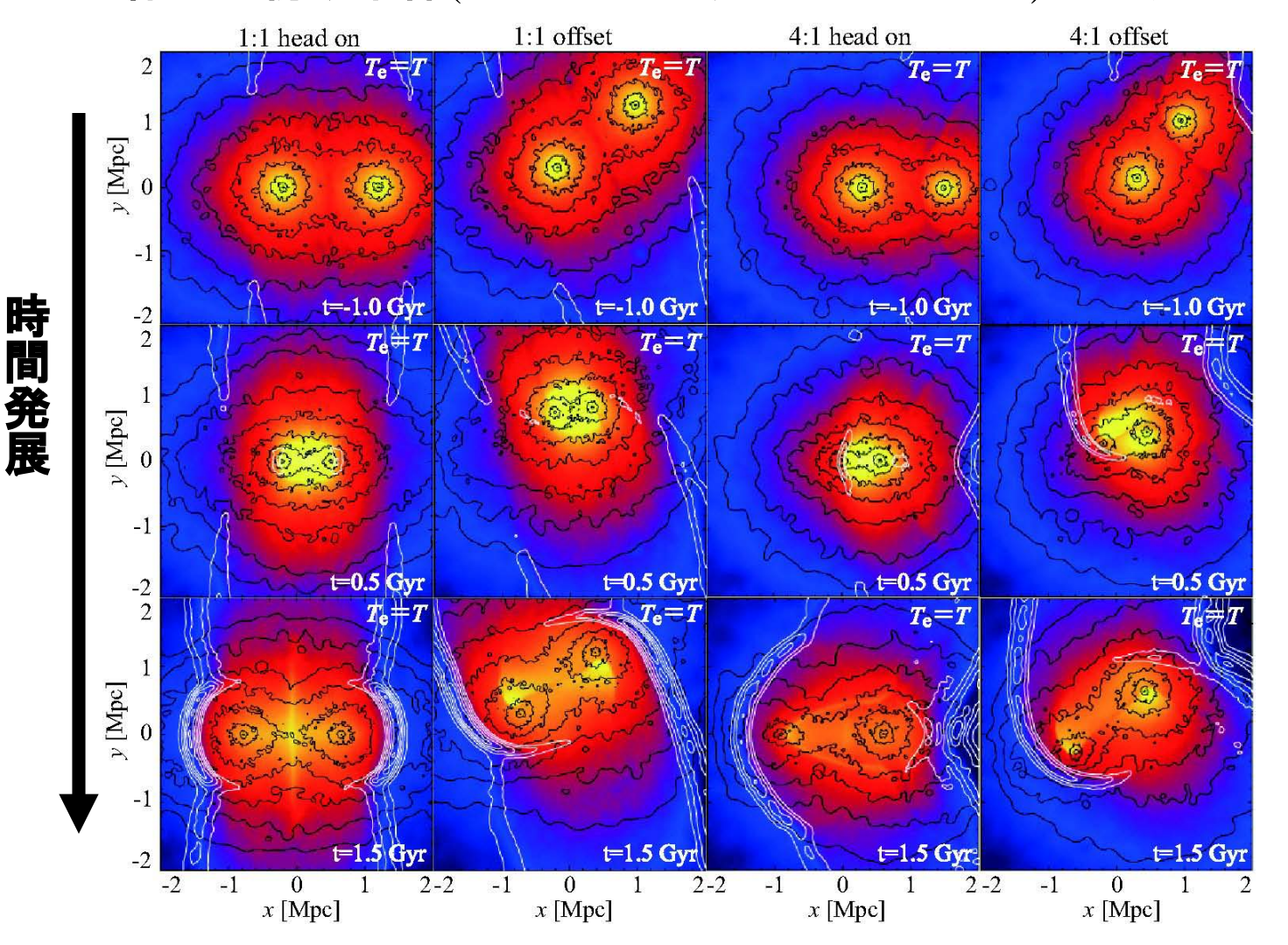
- ・銀河団外縁部の物理状態
- 極めて希薄な無衝突プラズマの運動論的性質

について、新たな知見を得られる可能性を示した。



## 衝撃波の構造

様々な初期条件(インパクトパラメータ、質量比)に対する、衝撃波の構造

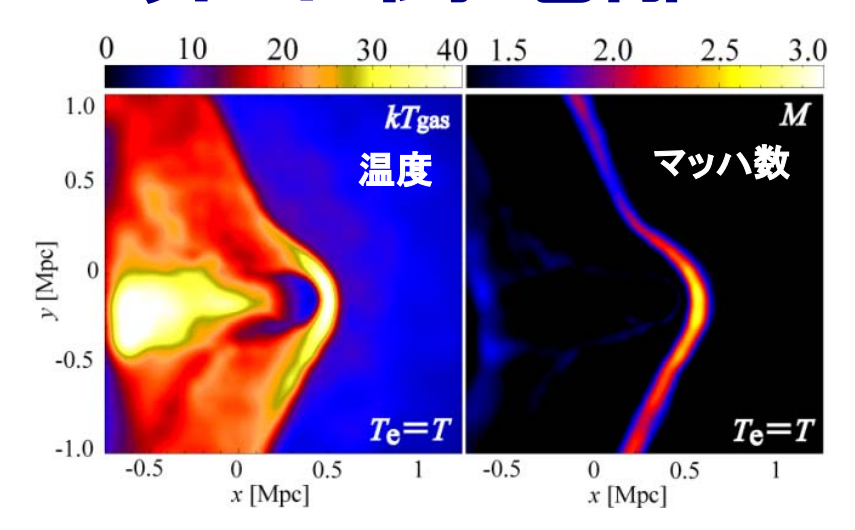


カラー:ガス密度

黒い等高線:DM密度

白い等高線:マッハ数

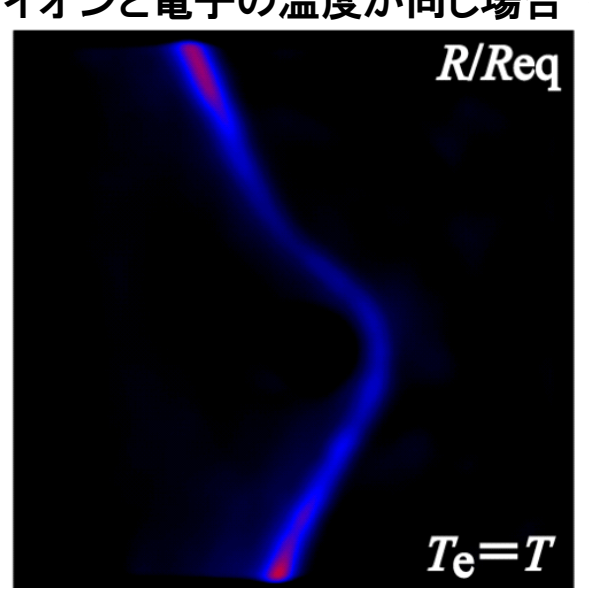
## 非平衡電離・二温度プラズマ状態

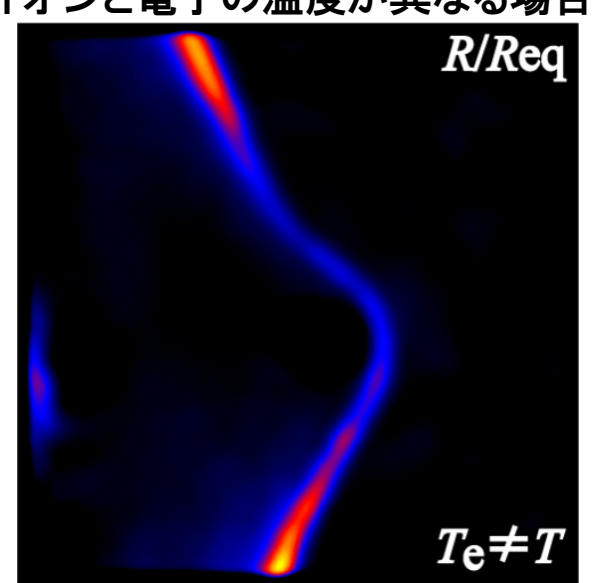


非平衡電離状態とプラズマ二温度状態を整合的に取り入れた、世界で最初の銀河団シミュレーション

#### 電離平衡からのずれ具合

イオンと電子の温度が同じ場合 イオンと電子の温度が異なる場合





電離平衡からのずれ具合が、 プラズマの運動論的性質の違いに依存する。



電離平衡からのずれを観測することによって、希薄なプラズマの運動論的性質に対する知見を得ることが可能になる。

#### 研究成果のまとめ

- 1. 電離光子脱出に関する3次元輻射輸送シミュレーションによって原始銀河の宇宙再電離への寄与を明らかにした
- 2. 原始銀河形成時に放出されるライマンアルファ輝線強度の 銀河質量依存性を明らかにした
- 3. 衝突銀河団の数値シミュレーションによって、非平衡電離とプラズマ二温度状態の重要性を明らかにした